

ТЕРМОГЕНЕРАЦИОННЫЙ ПРОБОЙ КАНАЛА ДВОЙНОЙ ИНЖЕКЦИИ В ПОЛУПРОВОДНИКОВОЙ СТРУКТУРЕ

A. B. Горбатюк, И. Е. Панайотти

Предложена аналитическая самосогласованная модель дрейфового и термогенерационного механизмов накопления плазмы в условиях нестационарного джоулева разогрева канала двойной инжекции с учетом рекомбинации Шокли—Рида. Показано, что из-за сильной неоднородности тепловыделения вдоль направления тока развитие явлений, связанных с термогенерационным пробоем, приобретает характер волны повышенной концентрации и температуры, распространяющейся от катода к аноду. Найдены динамические распределения концентрации плазмы, температуры и электрического поля. Рассчитано влияние эффекта на переходные характеристики напряжения и получен критерий тепловой перегрузки диодных и тиристорных структур.

Введение

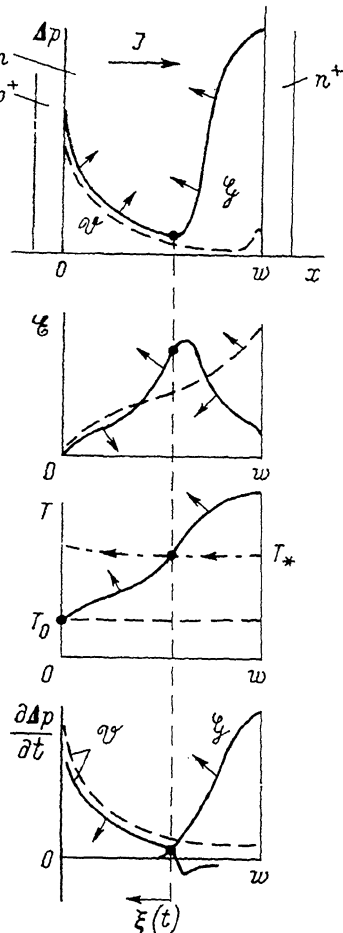
Термогенерация электронно-дырочной плазмы в распределенных полупроводниковых системах с током может вызывать неустойчивость возбужденных состояний этих систем и затем играть определяющую роль в цепи неконтролируемых взаимосвязанных процессов лавинообразного нарастания концентрации, перераспределения электрических потенциалов и температуры, возникновения зон повышенного разогрева и т. д. [1–4]. Интерес ко всему комплексу явлений — к динамическому термогенерационному пробою — диктуется практической необходимостью выяснения условий тепловой перегрузки различных полупроводниковых приборов, и в первую очередь мощных кремниевых переключателей, концентрация энергии в которых особенно высока [5–7].

Для квазистатических условий можно указать критический уровень возбуждения (обычно плотность тока $J_{\text{кр}}$), локальное превышение которого выводит процессы в системе на неконтролируемую ступень [2–4]. Время развития закритической фазы должно определяться скоростью термической генерации носителей через запрещенную зону и для мощных приборов на основе кремния может быть оценено как время перезарядки глубоких уровней τ_G (порядка единиц и десятков мкс). В случаях если длительность греющего импульса тока $t_i \gg \tau_G$, термогенерационный пробой структуры в масштабе времени t_i наступает мгновенно. При этом локальное выполнение условия критичности $J > J_{\text{кр}}$ означает аварию всего прибора, что и происходит в действительности при относительно «медленной» миллисекундной перегрузке диодов и тиристоров [4].

Совершенно иная ситуация возникает, когда длительность греющего импульса и время развития термогенерационных процессов соизмеримы. Такие случаи могут иметь место в новых мощных инжекционных переключателях микро- и субмикросекундного диапазонов [5–8], рабочие режимы которых близки к порогу равномерно распределенной по сечению канала критической перегрузки [7, 8], а также в других приборах с большой рабочей площадью управляемой или спонтанной локализации каналов двойной инжекции (см., например, [10]). Очевидно, что статические критерии перегрузки при этом становятся неприменимыми.

В работе [11] при некоторых упрощающих предположениях нами было показано, что последовательное развитие явлений термогенерационного пробоя

в канале двойной инжекции при быстром его разогреве приобретает характер волн повышенной концентрации плазмы и температуры, распространяющейся в пространстве между катодным и анодным эмиттерами. Законы упорядоченного движения подобных сильно неравновесных образований (диссипативных структур) в последние годы становятся предметом общетеоретического интереса [12], однако нестационарная распределенная задача данного класса сложности в литературе не анализировалась. Целью настоящей работы является самосогласованное аналитическое описание механизма термогенерационного пробоя канала двойной инжекции, расчет некоторых характеристик и оценка условий критической тепловой перегрузки с учетом влияния термогенерации.



1. Постановка задачи и качественный анализ

Рассмотрим одномерную распределенную систему с источниками инжекции электронов (катодный эмиттер), дырок (анодный эмиттер) и расположенным между ними инжекционным каналом n -типа (рис. 1). Роль эмиттеров в принципе могут выполнять не только сильнолегированные элементы структуры, но и локализованные плазменные сгустки, если концентрация носителей в них намного превышает исходную концентрацию в канале [13]. Будем считать, что инжекционный процесс развивается под действием ступенчатого импульса тока $J(t > 0) = \text{const}$ большой плотности, длительность которого $t_n \ll w^2/D$ времени диффузии плазмы на интервале w . Минимальный уровень возбуждения J_{\min} зададим из тех соображений, чтобы за некоторое время t_0 ($J_{\min} \ll t_n$) в канале уже достигался высокий уровень инжекции $p \gg N_d$. Для этого достаточно, чтобы $J_{\min} \gg$

Рис. 1. Пространственная динамика термогенерационного пробоя.

Стрелками показаны направления эволюции соответствующих распределений; штриховыми линиями — профили этих распределений на этапе предварительного разогрева; штрихпунктиром — поведение T_* для $t > t_*$.

$> 10qN_dwt_0^{-1}$. Максимальный ток ограничим значениями $J_{\max} < 10q(u_p + u_n)N_d\mathcal{E}_s$, при которых для $t \geq t_0$ максимальное поле в системе не превышает $\mathcal{E}_s \sim 10^4$ В/см. Тем самым исключим из рассмотрения нелинейные эффекты сильного поля. Для каналов длиной $\sim 300-500$ мкм при концентрации легирования $N_d \approx 10^{14}$ см $^{-3}$ данным требованиям удовлетворяют импульсы амплитудой от единиц А/см 2 (для $t_n \sim 10$ мкс) и сотен А/см 2 (для $t_n \sim 100$ нс) до единиц кА/см 2 , что соответствует условиям проведения экспериментов в [6-8, 10].

При выполнении указанных условий доминирующим механизмом инжекционной модуляции канала является амбиполярный дрейф квазинейтральной плазмы [9, 13]. Пренебрегая для времен $t_0 < t < t_n$ диффузией плазмы и тепла и полагая $p(x, t) \gg N_d$, опишем самосогласованные процессы дрейфа плазмы, адиабатического нагрева канала и баланса генерации — рекомбинации следующей системой уравнений:

$$\frac{\partial p}{\partial t} = -v_d(J, p) \frac{\partial p}{\partial x} + G(T) - R(p), \quad (1)$$

$$pc \frac{\partial T}{\partial t} = J \cdot \mathcal{E}(p, T, J). \quad (2)$$

Взаимосвязь уравнений (1) и (2) осуществляется через зависимости

$$G(T) = \frac{n_i(T)}{\tau_g} = \frac{\sqrt{N_{cv} N_{v0}}}{\tau_g} \cdot \left(\frac{T}{T_0} \right)^{3/2} e^{-E_g/2kT}, \quad (3)$$

$$R(p) = \frac{p}{\tau_R}, \quad (4)$$

$$v_d \cong \frac{b N_d J}{q(b+1)^2 p^2}, \quad (5)$$

$$\mathcal{E} = \frac{J}{\sigma(p, T)} = J [q(b+1)p \mu_{p0} \left(\frac{T}{T_0} \right)^{-3}]^{-1}. \quad (6)$$

Здесь G и R — скорости межзонной генерации и рекомбинации в приближении модели Шокли—Рида; ρ и c — плотность и удельная теплоемкость кремния; $v_d(J, p)$ — скорость амбиполярного дрейфа; $\sigma(p, T)$ — локальная проводимость плазмы; T_0 — начальная температура; N_{cv} и N_{v0} — эффективные плотности состояний зоны проводимости и валентной зоны при температуре $T=T_0$; E_g — ширина запрещенной зоны. Временные константы генерации τ_g и рекомбинации τ_R будем считать равными друг другу и времени жизни неравновесных носителей при высоком уровне инжекции τ_h . Принято также, что температурные зависимости подвижностей электронов и дырок одинаковы (что оправдано для кремния [8]) и имеют вид $\mu_n = \mu_{n0}$, $\mu_p = \mu_{p0} (T/T_0)^{-3}$ во всем интересующем диапазоне температур 300 . . . 1000 К; $b = \mu_{n0}/\mu_{p0} = \text{const}$.

Начальные условия соответствуют однородной температуре и практическому отсутствию избыточной плазмы в канале

$$T(x, t=0) = T_0 = \text{const}, \quad (7)$$

$$p(x>0, t=0) = 0. \quad (8)$$

Границное условие для уравнения (1) со стороны анода обосновывалось в ряде работ [8, 9, 13]

$$p(x \rightarrow 0) \rightarrow \infty. \quad (9)$$

Точного аналитического решения поставленная задача не имеет, но она может быть значительно упрощена на основе следующих соображений. Как следует из простых оценок, тепло за время t_* не успевает выводиться из системы. Поэтому в ней не достигается тепловое равновесие, в течение импульса происходит постоянное усиление термических эффектов. Однако исходное значение скорости генерации плазмы при типичном $\tau_g \sim 10$ мкс ничтожно мало $G_0 \approx 10^9 \text{ см}^{-3}/\text{мкс}$, только при температуре ~ 500 — 600 К оно может стать заметным на фоне инжекционного процесса ($10^{16} \text{ см}^{-3}/\text{мкс}$). Таким образом, для каждого сечения токового канала, как и для системы в целом, всегда существует этап предварительного разогрева и чисто инжекционной модуляции проводимости.

Для дрейфового механизма инжекции, как следует из [8, 9, 13], характерна сильная неоднородность концентрации плазмы вдоль канала с выраженным минимумом у катода (рис. 1). Здесь максимальны электрическое поле \mathcal{E} и мощность джоулевых потерь, так что в нашем случае максимумы температуры и скорости ее роста также расположены в сечении $x=w$.

В некоторый момент времени t_* в плоскости максимального разогрева $x=w$ достигается такая температура T_* , что скорость термогенерации G начинает преобладать над скоростью дрейфового накопления плазмы $V = -v_d(\partial p / \partial x)$. Так как температура канала при фиксированных t монотонно уменьшается от катода к аноду (от $x=w$ к $x=0$), но для любого фиксированного x продолжает нарастать во времени, то условие $G=V$ последовательно выполняется в движущейся плоскости $x=\xi(t)$ (рис. 1).

В области предварительного разогрева \mathcal{V} ($0 < x < \xi(t)$) всюду, за исключением, быть может, ближайшей к плоскости ξ окрестности, имеет место неравенство $p \gg n_i(T)$, так что здесь выполняется условие $V > R \gg G$.

За фронтом движения $\xi(t)$ в области преобладания термогенерации $\mathcal{G}(x > \xi(t))$ температура T , а с ней и $G(T)$ продолжают нарастать. Поэтому баланс

между G и R быстро меняется в пользу генерации, так что в \mathcal{G} за пределом некоторого переходного слоя $\Delta x \sim \delta$ выполняется неравенство $p < n_i(T)$. При этом $p(t)$ также растет. В слое δ из-за смены знака $\text{grad } p$ меняется и знак V . В дальнейшем при совместном увеличении $|\text{grad } p| \sim p$ и снижении $v_d \sim p^{-2}$ значение $|V|$ уменьшается как p^{-1} . В итоге, если $\delta \ll w$, то на большей части области \mathcal{G} выполняется соотношение $G > R \gg |V|$.

Из-за роста локальной проводимости

$$\sigma \sim T^{\frac{3}{2}-\beta} \exp\left(-\frac{E_g}{2kT}\right)$$

в области \mathcal{G} происходит уменьшение локального поля E по мере удаления от ξ в глубь \mathcal{G} . Таким образом, за фронтом ξ мощность джоулевых потерь снижается и температура после быстрого подъема приобретает тенденцию к насыщению.

Коллективное движение профилей концентрации и температуры (рис. 1), возникающее в результате самосогласованных инжекционного, теплового и термогенерационного процессов, можно рассматривать как нелинейную волну термогенерационного пробоя. Мгновенное положение фронта этой волны $\xi(t)$ следует определить из условия смены механизма накопления плазмы — перехода от дрейфовой инжекции к термогенерации в высокотемпературной части области \mathcal{V}

$$-v_d \frac{\partial p}{\partial x} \Big|_{x=\xi(t)} = \frac{n_i(T)}{\tau_h} \Big|_{x=\xi(t)}. \quad (10)$$

На границе $x=\xi(t)$ при этом должны выполняться условия непрерывности для концентрации $p(\xi=0)=p(\xi+0)$ и температуры $T(\xi=0)=T(\xi+0)$.

Проведенный качественный анализ позволяет выделить этапы предварительного и самосогласованного с термогенерацией разогрева системы и расчленить исходную задачу на раздельное описание зоны дрейфовой инжекции и зоны термогенерации в приближении резкой границы между ними.

2. Движение профилей концентрации плазмы и температуры

В соответствии с анализом в разделе 1 для области \mathcal{V} имеем усеченное уравнение амбиполярного дрейфа

$$\frac{\partial p}{\partial t} = -v_d(p, J) \frac{\partial p}{\partial x} - \frac{p}{\tau_h}. \quad (11)$$

Здесь содержится параметр τ_h , который в принципе зависит от температуры. Легко видеть, однако, что вклад рекомбинации существен только в областях с высокой концентрацией, остающихся при протекании тока относительно-холодными. Поэтому значение τ_h в интересующем нас интервале времени можно считать постоянным, а уравнение (11) можно классифицировать как квазилинейное и не зависящее от (2). Его решение при условиях (8), (9) имеет вид [14]

$$p(x, t) = p_{w_\infty} \cdot \eta^{-1/2} (1 - e^{-2t/\tau_h})^{1/2}, \quad (12)$$

где

$$\eta = \frac{x}{w}; \quad p_{w_\infty} = \frac{1}{b+1} \sqrt{\frac{bN_d J \tau_h}{2qw}}.$$

Решение температурного уравнения (2) после подстановки в него выражения (12) находится прямым интегрированием

$$\Theta(x, t) = \left[1 - \eta^{1/2} \frac{\Psi(t)}{\Psi(\tau_1)} \right]^{\frac{1}{1-\beta}}, \quad (13)$$

где

$$\Theta(x, t) = \frac{T(x, t)}{T_0}; \quad \Psi(t) = \operatorname{arsh} e^{t/\tau_h}.$$

Здесь $\tau_1 = \tau_h \ln \operatorname{ch}(J/J')^{-\frac{1}{1-\beta}}$ — время «обострения» процесса локализации тепла у катода. Отношение J/J' , где

$$J' = \left(\frac{\rho c \mu_{p_0} T_0 \sqrt{b q N_d}}{(\beta - 1) \sqrt{2 \tau_h w}} \right)^{1/\beta}$$

характеризует интенсивность ввода тепла в систему на этапе предварительного разогрева. В случае достаточно быстрого разогрева, когда $t < \tau_1 \ll \tau_h$ ($J > 2-3J'$), инжекционный и тепловой процессы теряют зависимость от τ_h

$$p(x, t) = \frac{1}{b+1} \sqrt{\frac{b N_d J}{q}} \sqrt{\frac{t}{w \cdot \eta}}; \quad \Theta(x, t) = \left[1 - \sqrt{\frac{t}{\tau_1}} \sqrt{\eta} \right]^{\frac{1}{1-\beta}}, \quad (14)$$

где

$$\tau_1 = \frac{(\rho c \mu_{p_0} T_0)^2 b q N_d}{4 (\beta - 1)^2 J^3 w}.$$

Если, напротив, $\tau_h \ll t < \tau_1$ ($J < J'/2-3$), то скорость разогрева относительно мала и имеет место приближение

$$p(x, t) = p_{w_\infty} \cdot \eta^{-1/2}; \quad \Theta(x, t) = \left[1 - \frac{t}{\tau_1} \cdot \eta^{1/2} \right]^{\frac{1}{1-\beta}}, \quad (15)$$

где

$$\tau_1 = \frac{\rho c \mu_{p_0} T_0 \sqrt{b q N_d}}{(\beta - 1) \sqrt{2 J^3 w}}.$$

Выражения (12)–(15) описывают поведение профилей $p(x, t)$ и $T(x, t)$ на всей длине токового канала $0 < x < w$ при $t \leq t_*$, а для времен $t > t_*$ они справедливы только в пространстве $0 < x \leq \xi(t)$.

Используя условие (10), а также (12) и (13), получаем транспонентное уравнение, позволяющее вычислять значение температуры $T_\xi(x) = T_0 \cdot \Theta_\xi(x)$ на границе между областями \mathcal{V} и \mathcal{G} в зависимости от координаты этой границы $x = \xi(t)$

$$\frac{\varepsilon}{\Theta_\xi} - \frac{3}{2} \ln \Theta_\xi - \ln \left(\frac{N_\varepsilon}{p_{w_\infty}} \right) = \frac{1}{2} \ln \{ \eta [1 - \operatorname{ch}^{-2}(\eta^{-1/2} \Psi(\tau_1) (1 - \Theta_\xi^{1-\beta}))] \}, \quad (16)$$

где $\varepsilon = E_g/(2kT_0)$, $N_\varepsilon = \sqrt{N_{c0} \cdot N_{v0}}$.

Момент времени $t = t_\xi$, когда фронт термогенерационной волны ξ достигает некоторого выбранного сечения x , может быть определен из (13) при уже известной температуре $T_\xi(x)$

$$t_\xi(x, \Theta_\xi) = \tau_h \ln \operatorname{ch} [(1 - \Theta_\xi^{1-\beta}) \eta^{-1/2} \Psi(\tau_1)]. \quad (17)$$

В случае слабого влияния рекомбинации, когда $t_\xi < \tau_1 \ll \tau_h$, температура на движущемся фронте ξ оказывается постоянной, не зависящей от координаты x , величиной, равной своему граничному значению $T_\xi(x) = T_\xi(x=w) = T_*$ [11]. Заметим, что для сечений $1/4 < \eta < 1$ температура T_ξ крайне слабо зависит от x при любом соотношении между τ_1 и τ_h . Поэтому в дальнейшем для описания процессов в области \mathcal{G} мы будем использовать однородное начальное условие по температуре

$$\Theta_\xi(x) = \Theta_\xi(x=w) = \Theta_* = \text{const}. \quad (18)$$

Начальная концентрация для каждого сечения x в области \mathcal{G} , очевидно, определяется количеством плазмы, накопленным в этом сечении к моменту его захвата термогенерационной волной,

$$p_\xi(x) = p_{w_\infty} \cdot \eta^{-1/2} (1 - e^{-2t_\xi/\tau_h})^{1/2} \approx p_{w_\infty} \eta^{-1/2} (1 - e^{-2t_*/\tau_h})^{1/2}. \quad (19)$$

В приближении (18) закон движения фронта $\xi(t)$ может быть записан в явном виде

$$\xi(t) = w \left[(1 - \Theta_*^{1-\beta}) \frac{\Psi(\tau_1)}{\Psi(t)} \right]^2 = w \frac{\Psi(t_*)}{\Psi(t)} \approx \frac{w t_*}{t} \Big|_{t < \tau_1 \ll \tau_h} \approx w \left(\frac{t_*}{t} \right)^2 \Big|_{\tau_h \ll t < \tau_1}. \quad (20)$$

Пренебрегая амбиполярным дрейфом плазмы, опишем область системой уравнений

$$\frac{dp}{dt} = \frac{N_\epsilon}{\tau_h} \Theta^{\beta/2 - \beta} e^{-\epsilon/\Theta} - \frac{p}{\tau_h},$$

$$\frac{d\Theta}{dt} = \frac{J^2 \Theta^\beta}{c_p T_0 (b+1) \mu_{p_0} p}. \quad (21)$$

С целью нахождения решений сделаем в (21) замену переменной $p = 1/y$ и разделим полученные выражения друг на друга. В результате находим дифференциальную связь между концентрацией и температурой

$$\frac{d\left(\frac{1}{p}\right)}{d\Theta} = -\frac{\tau_2}{\tau_h} \Theta^{\beta/2 - \beta} e^{-\epsilon/\Theta} \cdot \frac{1}{p} + \frac{\tau_2}{\tau_h N_\epsilon} \Theta^{-\beta};$$

$$\tau_2 = N_\epsilon c_p T_0 q (b+1) \mu_{p_0} J^{-2}. \quad (22)$$

Используя начальное условие (19), запишем решение (22) в виде

$$p(x, \Theta) = \frac{p_\xi(x) \cdot F_1(\Theta, \Theta_*)}{1 + \frac{\tau_2}{\tau_h} \frac{p_\xi(x)}{N_\epsilon} \cdot F_2(\Theta, \Theta_*)},$$

$$F_1(\Theta, \Theta_*) = \exp \left[\frac{\tau_2}{\tau_h} \int_{\Theta_*}^{\Theta} \Theta^{\beta/2 - \beta} e^{-\epsilon/\Theta} d\Theta \right],$$

где

$$F_2(\Theta, \Theta_*) = \int_{\Theta_*}^{\Theta} \Theta^{-\beta} F_1(\Theta, \Theta_*) d\Theta. \quad (23)$$

Подставляя зависимость $p(x, \Theta)$ в дифференциальное уравнение для температуры и решая его с учетом (18), получаем динамическое распределение температуры в виде обратной функции

$$t - t_\xi(x) = \tau_h \ln \left[1 + \frac{\tau_2}{\tau_h} \frac{p_\xi(x)}{N_\epsilon} F_2(\Theta, \Theta_*) \right]. \quad (24)$$

Выражения (23) и (24) параметрически описывают эволюцию профиля концентрации в области \mathcal{G} .

Если $t - t_\xi \ll \tau_h$, то найденные решения (23), (24) принимают вид [11]

$$p(x, \Theta) = p'_\xi(x) \cdot F_1(\Theta, \Theta_*), \quad (25)$$

$$t - t_* \cdot \frac{w}{x} = \tau_2 \frac{p'_\xi(x)}{N_\epsilon} F_2(\Theta, \Theta_*), \quad (26)$$

где

$$p'_\xi(x) = \frac{1}{(b+1)x} \sqrt{\frac{b N_d J w t_*}{q}}.$$

Необходимо заметить, что относительный вклад термогенерации плазмы в концентрационную модуляцию проводимости токового канала определяется в каждый момент времени пространством, занятым термогенерационной волной. В этой связи удобно ввести время полупробега границей $\xi(t)$ всего инжекционного канала w

$$\tau_{1/2} = t_\xi \left(x = \frac{w}{2} \right) - t_*, \quad (27)$$

которое характеризует «плавность» включения механизма термогенерационного пробоя в масштабе времени наблюдения t_* . В случае слабой рекомбинации время полупробега равно значению t_* (см. (26)).

3. Динамика $\mathcal{E}(x, t)$ и зоны локализации тепловыделения

Динамическое распределение электрического поля может быть рассчитано по полученным выражениям для концентрации и температуры. Для области \mathcal{G} , используя (12) и (13), имеем

$$\mathcal{E}(x, t) = \frac{J}{\sigma(x, t)} = \mathcal{E}_{\infty} \cdot \eta^{1/2} \cdot (1 - e^{-2t/\tau_h})^{-1/2} \left[1 - \eta^{1/2} \frac{\Psi(t)}{\Psi(\tau_1)} \right]^{\frac{\beta}{1-\beta}}, \quad (28)$$

где

$$\mathcal{E}_{\infty} = \frac{1}{\mu_{p_0}} \sqrt{\frac{2Jw}{bqN_d\tau_h}}.$$

В области \mathcal{G} электрическое поле может быть выражено как функция температуры в отдельных сечениях токового канала

$$\mathcal{E}(x, \Theta) = \frac{J}{\sigma} = \frac{c_p T_0}{J} \frac{1 + \frac{\tau_2}{\tau_h} \frac{p_\xi(x)}{N_e} F_2(\Theta, \Theta_*)}{\tau_2 \cdot \frac{p_\xi(x)}{N_e} \Theta^\beta \cdot F_1(\Theta, \Theta_*)}. \quad (29)$$

При этом оно параметрически связано с временем через найденную ранее зависимость $t(x, \Theta)$ (24).

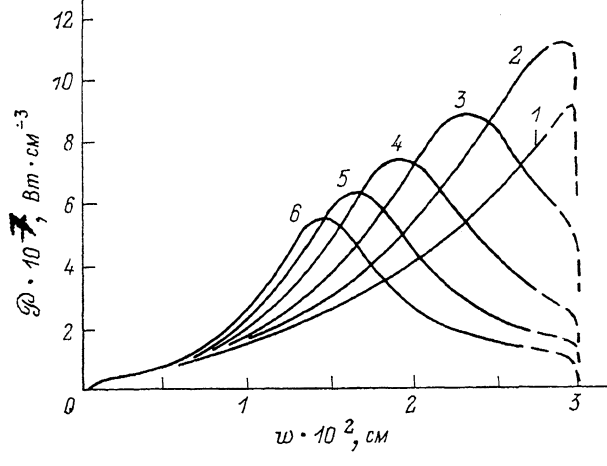


Рис. 2. Зарождение и распространение зоны преимущественного тепловыделения.
 $N_d = 10^{14} \text{ см}^{-3}$, $w = 3 \cdot 10^{-2} \text{ см}$, $\tau_h = 25 \text{ мкsec} = \text{const}$, $T_0 = 300 \text{ K}$, $J = 8 \cdot 10^3 \text{ A/cm}^2$; $t, \text{ мкс}: 1 - 9, 2 - 12, 3 - 15, 4 - 18, 5 - 21, 6 - 24$.

Динамическое распределение плотности мощности тепловых потерь повторяет профиль электрического поля

$$\mathcal{P}(x, t) = \mathcal{E}(x, t) \cdot J. \quad (30)$$

При выполнении расчетов вследствие отсутствия в литературе надежных экспериментальных данных о поведении $\tau_h(T)$ и $\mu_n, \mu_p(T)$ в высокотемпературной области ($T > 500 \text{ K}$) мы использовали приближение $\tau_h(T) = \text{const}$, а значение степенного показателя β в температурных зависимостях подвижностей (см. (6)) приняли равным $\beta = 2.5$.

На рис. 2 рассчитаны профили $\mathcal{P}(x)$ для нескольких моментов времени. Ранее в [9] мы указали на явление динамической локализации джоулевых потерь вблизи катода за счет положительной обратной связи между \mathcal{P} и T . Теперь вследствие развития термогенерации плазмы (и соответствующего увеличения проводимости) в области \mathcal{G} на профиле $\mathcal{P}(x)$ формируются плавный максимум и участок спада. Зона локализации при этом перемещается от катода к аноду.

4. Условие критической перегрузки с учетом термогенерации

На рис. 3 приведены результаты расчета $p(t)$ и $T(t)$ в плоскости максимального перегрева $x=w$. Быстрый рост температуры в начале процесса (кривая 1) объясняется малой начальной проводимостью канала. С развитием процесса дрейфовой инжекции в интервале времени

$$\tau_{kp} \sim \frac{w}{v_d (p = N_d)}$$

темп роста T уменьшается. На следующем этапе при временах, соизмеримых с τ_1 , подъем температуры снова ускоряется, что можно объяснить замедлением скорости дрейфа по мере достижения высокого уровня инжеции, а также

температурным падением подвижностей носителей и установлением положительной обратной связи между T и \mathcal{E} .

После включения термогенерации ($t_* = 5$ мкс) с задержкой порядка τ_h^* происходит быстрое увеличение концентрации (кривая 2) и, как следствие, зависимость $T(t)$ переходит на стадию насыщения. При относительном постоянстве T концентрация плазмы $p(t)$ растет линейно, но на несколько микросекунд отстает от

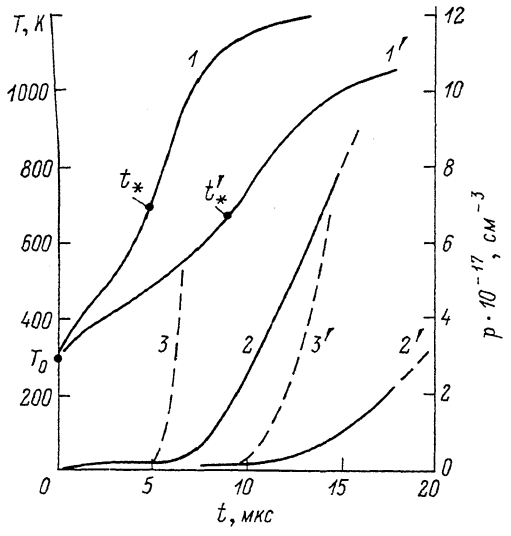


Рис. 3. Временные зависимости температуры $T(t)$ (1, 1'), концентрации $p(t)$ (2, 2') и равновесной концентрации $n_i(T)$ (3, 3') в сечении $x=w$.

$J, \text{kA/cm}^2: 1-3 = 10, 1'-3' = 8.$ Остальные исходные данные те же, что и на рис. 2.

равновесных значений $n_i(T)$ (кривая 3). При снижении амплитуды тока эффекты перегрева при том же качестве выражены слабее [(кривые 1'—3')].

Задавая температуру термомеханической деструкции T_{kp} для плоскости максимального перегрева $x=w$, можно получить из выражения (24) предельную длительность греющего импульса тока

$$t_{kp}^{exp} = t_* + \tau_h \ln \left[1 + \frac{\tau_2}{\tau_h} \frac{p_\xi(w)}{N_e} F_2(\Theta, \Theta_*) \right]. \quad (31)$$

Данное условие, очевидно, тем сильнее отличается от полученного в работе [9], чем больше отличается T_{kp} от температуры начала термогенерации T_* . Например, при $T_{kp} = 1100$ К для режима $J = 8$ кА/см² критическая длительность t_{kp}^{exp} без учета термогенерации близка к значению $\tau_1 \sim 10$ мкс. Из рис. 3 видно, что с учетом термогенерации плазмы длительность t_{kp}^{exp} почти удваивается.

5. Переходные характеристики $U(t)$

Падение напряжения на областях \mathcal{V} и \mathcal{S} рассчитывается путем интегрирования распределений электрического поля. Для области \mathcal{V} получаем из (28) явное выражение

$$U_V(t) = - \int_0^{\xi(t)} \xi dx = \frac{2}{3} \frac{\sqrt{J\xi^3}}{\mu_{p_0} \sqrt{bqN_d}} \sqrt{\frac{2}{\tau_h(1 - e^{-\alpha(t-\tau_h)})}} \cdot \Phi(t), \quad (32)$$

где

$$\Phi(t) = \frac{6(\beta-1)}{(1-x)^3} \left\{ x^{1/(1-\beta)} \left[\frac{1}{2} + \frac{x}{\beta-2} - \frac{x^2}{2(2\beta-3)} \right] - \frac{(\beta-1)^2}{(\beta-2)(2\beta-3)} \right\}.$$

При $t \leq t_*$

$$x(t) = 1 - \frac{\psi(t)}{\psi(\tau_1)}; \quad \xi = w,$$

а при $t > t_*$

$$x(t) = 1 - \frac{\xi}{w} \frac{\psi(t)}{\psi(\tau_1)}; \quad \xi = \xi(t).$$

Падение напряжения на области \mathcal{G} может быть найдено в параметрическом виде

$$U_G = - \int_{\xi(t)}^w \mathcal{E} dx = - \frac{\rho c}{J} \int_{\xi(t)}^w \frac{dx}{dt/d\Theta} = - \frac{\rho c}{J} \int_{\Theta_*}^{\Theta_w} \frac{d\Theta}{dt/dx}. \quad (33)$$

При этом связь верхнего предела интегрирования — параметра прогонки Θ_w с текущим временем t определяется из (24) как $t = t(x=w, \Theta=\Theta_w)$. В случае $t - t_\xi \ll \tau_h$ последняя формула имеет вид простой квадратуры

$$U_G(t) = \frac{c\rho w t_* T_0}{t^2 \cdot J} \int_{\Theta_*}^{\Theta_w} \left[1 + \frac{\tau_2}{t_*} \frac{p'_\xi(w)}{N_e} F_2(\Theta, \Theta_*) \right] d\Theta. \quad (34)$$

На рис. 4 представлены расчетные временные зависимости напряжения для каждой из областей, а также полная переходная характеристика $U(t) \approx U_V + U_G$. На этапе предварительного разогрева вначале происходит спад $U(t)$, типичный для изотермического инжекционного процесса [13], затем напряжение начинает расти, что объясняется снижением подвижности носителей при перегреве [9].

После начала термогенерации размеров области \mathcal{V} и напряжение на ней быстро уменьшаются (кривая 2). Составляющая U_G , наоборот, быстро растет в первые моменты зарождения области \mathcal{G} из-за быстрого расширения. Затем после замедления движения границы $\xi(t)$ (20) фактически для времен $\sim \tau_{1/2}$ после увеличения концентрации плазмы в \mathcal{G} на 1–1.5 порядок и ограничения дальнейшего роста температуры

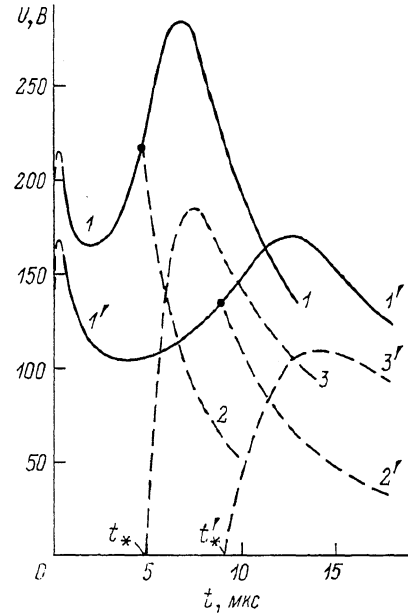


Рис. 4. Переходные зависимости напряжения $U(t)$ (1, 1') и его составляющих на областях \mathcal{V} (2, 2') и \mathcal{G} (3, 3').

Остальные исходные данные те же, что и к рис. 2; 1–3, 1'–3' — то же, что и на рис. 3.

наступает быстрый спад $U_G(t)$ (кривая 3). Суммарное напряжение $U(t)$ при $t > t_*$ еще некоторое время продолжает нарастать, достигая в масштабе времени $\tau_{1/2} \approx t_*$ плавного максимума.

Формирование этого максимума с последующим прогибом кривой $U(t)$ книзу (как $t^{-1}-t^{-2}$) является, видимо, характерным внешним признаком начала термогенерационного пробоя. Интересно, что именно такой вид имеют экспериментальные характеристики реверсивно включаемых динисторов [6] при коммутации импульсов тока амплитудой около 300 кА ($J=5-10$ кА/см²) и длительностью 25–50 мкс. Причем интервал времени с типичным прогибом U в ряде случаев занимает больше половины всего коммутационного периода. Приведенные результаты согласуются с оценкой по условию критической перегрузки (31), если задать $T_{ep} \approx 1100-1200$ К. Следует помнить, однако, что справедливость критерия (31) ограничена приближением строгой однородности токораспределения по сечению канала и применительно к приборам большой

площади [5-7] может нарушаться при длительности импульсов $t_a \geq t_* + \tau_{1/2} \approx 2\tau_{1/2}$
из-за поперечной неустойчивости тока в канале [10].

В заключение авторы благодарят И. В. Грехова, А. А. Лебедева, А. С. Курегяна за обсуждение результатов работы, а также **К**. Д. Цандина и **Б**. С. Кернера за плодотворные дискуссии.

Список литературы

- [1] Алферов Ж. И., Уваров А. И. // Электричество. 1964. № 5. С. 46—49.
- [2] Бараненков А. И., Осинов В. В. // Микроэлектроника. 1972. Т. 1. № 1. С. 63—68.
- [3] Кернер Б. С., Осинов В. В. // Микроэлектроника. 1974. Т. 3. № 1. С. 9—22.
- [4] Грехов И. В., Отблеск А. Е. // ЖТФ. 1984. Т. 54. Вып. 9. С. 1787—1792.
- [5] Грехов И. В., Горбатюк А. В., Костина Л. С. и др. // ЖТФ. 1983. Т. 53. Вып. 9. С. 1822—1826.
- [6] Грехов И. В., Коротков С. В., Яковчук Н. С. // Электротехника. 1986. № 3. С. 44—46.
- [7] Тучевич В. М., Грехов И. В. Новые принципы коммутации больших мощностей полупроводниковыми приборами. Вестн. АН СССР. 1987. № 4. С. 18—27.
- [8] Ефанов В. М., Кардо-Сысоев А. Ф., Смирнова И. А. // ФТП. 1987. Т. 21. Вып. 4. С. 620—625.
- [9] Горбатюк А. В., Панайотти И. Е. // ЖТФ. 1990. Т. 60. Вып. 5. С. 129—135.
- [10] Горбатюк А. В., Линийчук И. А., Свирип А. С. // Письма в ЖТФ. 1989. Т. 15. Вып. 6. С. 42—45.
- [11] Горбатюк А. В., Панайотти И. Е. Препринт ФТИ им. А. Ф. Иоффе АН СССР. № 1171. Л., 1987. 17 с.
- [12] Васильев В. А., Романовский Ю. М., Яхно В. Г. Автоволновые процессы. М.: Наука, 1987. 240 с.
- [13] Gorbatyuk A. V., Grekhov I. V., Nalivkin A. V. // Sol. St. Electron. 1988. Vol. 31. N 10. P. 1483—1491.
- [14] Камке Э. Справочник по дифференциальным уравнениям в частных производных первого порядка. М.: Наука, 1966. 260 с.

Физико-технический институт
им. А. Ф. Иоффе АН СССР
Ленинград

Поступило в Редакцию
3 июля 1990 г.